

مقاآم‌سازی انتخابی مشاهده‌پذیر و بهینه مدارهای ترکیبی در برابر خطای نرم

راهبه نیارکی اصلی و هومن سالمی

ناپایدار رادیوакتیویته مانند اورانیوم ۲۳۸ یا توریوم ۲۳۲ در بسته‌بندی‌های مدارات مجتمع و سرب ۲۱۰ در قطعات لحیم تششعع پیدا می‌کنند. ذرات آلفا غالباً در سطوح انرژی کمتر از 10 MeV تولید می‌گردند و از طریق یونیزاسیون مستقیم و غیر مستقیم ایجاد بار می‌نمایند. از منابع دیگر خطای نرم، نوترون‌های حرارتی و اشعه‌های کیهانی هستند که پروتون‌ها و نوترون‌های پرانرژی تولید می‌کنند [۲].

تحقیقات نشان می‌دهد که خطای نرم در مدارات ترکیبی به طور خطی با فرکانس افزایش می‌یابد [۳]. اگر ذرهای به گره‌های از مدار ترکیبی برخورد نماید و پالس ناخواسته‌ای تولید شود، در صورتی که این پالس توسط تضعیف الکتریکی، پوشش منطقی یا پوشش زمانی از بین نزد [۴] و در عصر حافظه‌داری ذخیره شود، خطای نرم رخ می‌دهد.

در این مقاله یک روش مشاهده‌پذیر انتخابی بهینه برای مقاآم‌سازی مدارات ترکیبی در برابر خطای نرم معروف می‌شود. در روش پیشنهادی ابتدا اولویت گره‌های مدار ترکیبی از مشاهده‌پذیری مدار به دست آمده و با استفاده از قابلیت اطمینان مدار، تعداد گره‌های مورد نیاز برای مقاآم‌سازی تعیین می‌گردد. سپس نتایج حاصل از اعمال سه روش مختلف مقاآم‌سازی گره‌های مدارات ترکیبی را بر تعدادی از مدارهای استاندارد آزمون با یکدیگر مقایسه و تحلیل می‌کنیم و در نهایت پس از بهینه‌سازی مدار با استفاده از محاسبات قابلیت اطمینان به ارائه نتایج حاصل از روش پیشنهادی و کارایی بالای مدار در برابر تغییرات فرایند می‌پردازیم.

در بخش دوم این مقاله برخی از مهم‌ترین کارهای انجام‌شده در این حوزه مورد بررسی قرار می‌گیرند. بخش سوم به معروف الگوریتم پیشنهادی برای مقاآم‌سازی انتخابی گره‌های مدار اختصاص دارد که در این بخش محاسبات مربوط به بخش‌های مختلف الگوریتم پیشنهادی تشریح می‌گردد. در بخش چهارم، شبیه‌سازی، مقایسه و انتخاب روش مناسب برای مقاآم‌سازی گره‌های انتخاب شده ارائه می‌گردد. در این بخش همچنین نتایج آنالیز مونت کارلو برای مدارهای مقاآم پیشنهادی در برابر تغییرات فرایند ارائه شده است. بخش پنجم به جمع‌بندی و نتیجه‌گیری اختصاص داده شده است.

۲- مروری بر روش‌های پیشنهادی

یکی از روش‌های معروف در زمینه آشکارسازی و تصحیح خطای نرم، روش افزونگی زمانی است [۱]. در روش مذکور برای هر خروجی مدار ترکیبی، علاوه بر مسیر مستقیم، یک مسیر تأخیردار نیز قرار می‌گیرد و در انتهای هزاردهای به وجود آمده توسط یک گیت NOR و یک گیت NAND می‌گردد. روش دیگری تحت عنوان روش افزونگی مساحت نیز وجود دارد که در آن برای تصحیح خطای نرم از عنصر C استفاده شده است [۵]. عنصر C مداری است متشکل از چهار ترانزیستور و هنگامی که دو ورودی آن مشابه باشد، این المان به عنوان معکوس‌کننده عمل می‌کند و چنانچه ورودی‌ها متفاوت باشند، خروجی قبلی را نگه می‌دارد. در این

چکیده: کاهش مقیاس تکنولوژی و کاهش سطوح ولتاژ باعث حساس‌تر شدن گره‌های مدارات مجتمع و رشد فراینده خطای نرم در آنها شده است. خطای نرم سبب اختلال گذرا در کار مدار می‌گردد و اهمیت آن در مدارهای ترکیبی با افزایش فرکانس کاری بیشتر می‌شود. در این مقاله روشی بهینه برای مقاآم‌سازی مدارات ترکیبی در برابر خطای نرم ارائه شده است. بهینه‌سازی روش پیشنهادی در سه مرحله ایجاد می‌گیرد. ابتدا با محاسبات مشاهده‌پذیری، اولویت گره‌های مدار از نظر مقاآم‌سازی تعیین می‌گردد. سپس به منظور بهینه‌نمودن پارامتر توان- تأخیر و سطح مصرفی مدار، قابلیت اطمینان مدار اندازه‌گیری می‌شود و با توجه به آن، تعداد گره‌های لازم برای مقاآم‌سازی تعیین می‌گردد. در مرحله بعد، گره‌های انتخابی از مدارهای استاندارد آزمون با سه روش مختلف که شامل افزونگی زمانی، اشمیت تریگر و پسخورد ترانزیستوری می‌باشند مقاآم‌سازی می‌شوند. مقایسه سه روش نشان می‌دهد که مدار مقاوم شده با اشمیت تریگر، دارای بیشترین بار بحرانی و کمترین فاکتور توان- تأخیر است. همچنین نتایج شبیه‌سازی تأیید می‌کند که مقاآم‌سازی گره می‌باشد. اجرای روش پیشنهادی بر روی همراه با نوع مناسب مقاآم‌سازی گره می‌باشد. اجرای روش پیشنهادی بر روی مدارهای تحت آزمون از ISCAS85 مؤثربودن روش را تأیید می‌کند. همچنین شبیه‌سازی مونت کارلو نشان می‌دهد که روش پیشنهادی در برابر تغییرات فرایند مقاوم است.

کلیدوازه: خطای نرم، مدار ترکیبی، مشاهده‌پذیری، قابلیت اطمینان، بار بحرانی.

۱- مقدمه

با پیشرفت تکنولوژی به سمت محدوده نانومتر، قابلیت اطمینان سیستم‌های CMOS در حوزه U/VLSI به نگرانی اصلی فعالان این حوزه تبدیل شده است. یکی از اصلی‌ترین عوامل کاهش قابلیت اطمینان، برخورد ذرات باردار ناشی از تششععات کیهانی است که ایجاد خطای نرم می‌کند. خطاهای نرم، نتیجه برخورد ذراتی هستند که عمدها شامل موارد زیر می‌باشند: ۱) ذرات الگای ناشی از تجزیه ایزوتوپ‌های ناپایدار موجود در بسته‌بندی قطعات، ۲) اشعه‌های کیهانی که پروتون‌ها و نوترون‌های پرانرژی تولید می‌کنند و ۳) نوترون‌های حرارتی [۱].

ذرات آلفا به عنوان یک منبع اصلی ایجاد خطای نرم در الکترونیک، محسوب می‌شوند. یک ذره آلفا شامل یک هسته بوده که توسط دو نوترون و دو پروتون شکل گرفته و با فروپاشی هسته‌ای ایزوتوپ‌های

این مقاله در تاریخ ۲۲ آبان ماه ۱۳۹۵ دریافت و در تاریخ ۲۵ فروردین ماه ۱۳۹۶ بازنگری شد.

راهبه نیارکی اصلی، گروه برق، دانشکده فنی، دانشگاه گیلان، رشت، (email: niaraki@guilan.ac.ir)

هومن سالمی، کارشناس ارشد مهندسی الکترونیک دانشکده فنی، دانشگاه گیلان، رشت، (email: hoomansalemi@gmail.com)

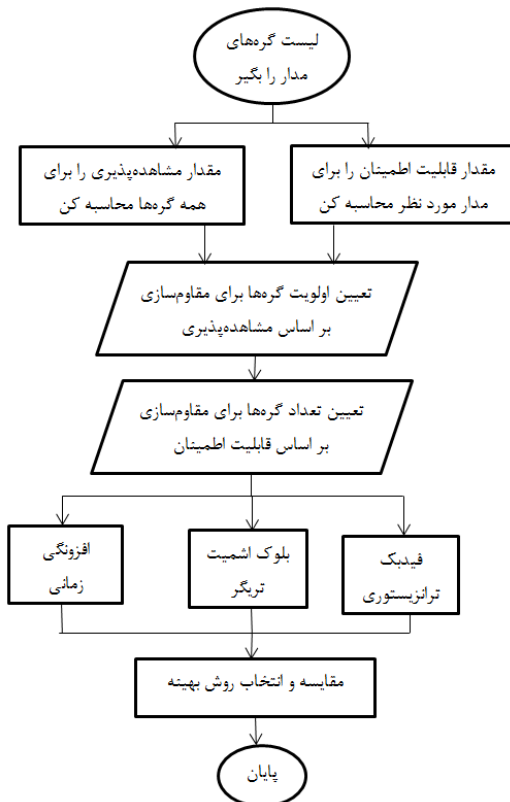
اطمینان سیگنال به عنوان احتمال انتقال مقدار صحیح توسط سیگنال تعريف می‌شود و ماتریس قابلیت اطمینان سیگنال‌ها به صورت 2×2 تشکیل می‌گردد. حال چنانچه دو ماتریس ورودی یک گیت را داشته باشیم، با استفاده از ضرب کرونکر و ضرب ماتریسی می‌توانیم ماتریس قابلیت اطمینان را در خروجی آن به دست آوریم. روش رایج دیگر، استفاده از پارامتر احتمال خطای α (POF) برای طبقه‌بندی گره‌های مداری است [۱۲]. مقدار POF بیانگر میزان احتمال وقوع خطای α است و هرچه احتمال وقوع خطای یک المان بالاتر باشد، آن المان نیاز بیشتری به محافظت و مقاومسازی در برابر خطای نرم دارد. با این روش، پس از این که POF همه المان‌ها به دست آمد به صورت یک لیست نزولی مرتب می‌گردد. در این حالت بالاترین المان لیست، حساس‌ترین المان بوده و بیشترین نیاز به مقاومسازی را در برابر خطای نرم دارد. پس از این که نقاط حساس به دست آمدند روش مقاومسازی مبنی بر افزایش اندازه عرض ترانزیستور بر روی آنها اعمال می‌گردد.

۳- الگوریتم روش مقاومسازی پیشنهادی با استفاده از مفاهیم مشاهده‌پذیری و قابلیت اطمینان

مبناًی روش پیشنهادی استفاده از مشاهده‌پذیری در انتخاب گره‌های با اولویت بالاتر برای اعمال مقاومسازی است. در این راستا با استفاده از روش مناسب مقاومسازی و قابلیت اطمینان^۳ مدار برای رسیدن به نرخ خطای نرم^۴ (SER) استفاده می‌کنیم. الگوریتم روش پیشنهادی در شکل ۱ آورده شده است. همان‌طور که در این شکل ملاحظه می‌گردد ابتدا لیست گره‌های مدار گرفته شده و مقادیر احتمال سیگنال و سپس مشاهده‌پذیری برای گره‌های مدار محاسبه می‌گردد و به صورت یک لیست نزولی از بالاترین مقدار به پایین‌ترین مقدار مرتب می‌شوند. بر مبنای این لیست، اولویت گره‌ها برای مقاومسازی تعیین می‌شود. از طرف دیگر مقدار قابلیت اطمینان برای مدار مورد نظر محاسبه می‌گردد و با توجه به مقدار به دست آمده، تعداد گره‌های لازم برای مقاومسازی معین می‌گردد. در ادامه با انجام روش‌های مقاومسازی مختلف و شبیه‌سازی آنها، پارامترهای مختلف مداری مورد بررسی قرار گرفته شده و روش بهینه انتخاب می‌گردد. در ادامه به تشریح روش پیشنهادی می‌پردازیم.

۱-۳ محاسبه مشاهده‌پذیری در مدارات ترکیبی

احتمال سیگنال یک گیت به صورت احتمال $P(\text{شدن خروجی} | \text{شدن خروجی})$ مذکور بر حسب ورودی‌های مختلف آن تعریف می‌شود و چون یک پارامتر احتمالی است، عددی در بازه صفر تا یک است [۱۳]. جدول ۱ مقدار احتمال وقوع هر یک از حالات منطقی را برای خروجی گیت‌های مختلف نشان می‌دهد. در این جدول a و b ورودی‌های گیت و w خروجی گیت در نظر گرفته شده است. $(w \cdot P(\text{شدن خروجی}))$ احتمال $P(w)$ احتمال w بودن خروجی و $(w \cdot P(\text{شدن خروجی}))$ احتمال $P(w)$ بودن خروجی هر برابر با 0.5 در نظر گرفته می‌شود. برای محاسبه احتمال سیگنال گردد از مدار با فرض احتمال 0.5 برای هر ورودی، از سمت ورودی مدار به گردد از مدار برای حرکت کرده و در این مسیر با رسیدن به هر گیت، با توجه به رابطه احتمال سیگنال که در جدول ۱ آورده شده است، مقدار این پارامتر برای گرده خروجی گیت مذکور محاسبه می‌شود. شکل ۲ مدار C17



شکل ۱: الگوریتم روش پیشنهادی.

روش، یک کپی از مدار گرفته و خروجی آنها با هم مقایسه و نهایتاً توسط یک عنصر C خروجی نهایی مدار تعیین و خطای نرم حذف می‌شود. افزایش عرض کانال ترانزیستور، یکی دیگر از راه‌های مقابله با خطای نرم است [۶]. ویژگی اصلی این روش، توانایی یافتن حداقل عرض قابل قبول برای گیت ترانزیستور است به گونه‌ای که بتواند هزارده وارده را قبل از انتشار آن به خروجی مدار از بین ببرد. یک روش رایج برای مقابله با خطای نرم استفاده از پسخورد ترانزیستوری است [۷]. پسخورد ترانزیستوری که به سلول RADJAM معروف است شامل دو وارونگر بوده که از نظر اندازه به گونه‌ای طراحی می‌گردد که هزارده به وجود آمده را در نقطه مزبور به بهترین شکل ممکن تضعیف نمایند. روش رایج دیگر استفاده از اشمیت تریگر برای تصحیح خطای نرم است [۸]. در این مدار ابتدا هزارده ورودی به کمک یک فیلتر پایین‌گذر تضعیف می‌شود. پس از این تضعیف، اشمیت تریگر خطای نرم تضعیف شده را با استفاده از خاصیت هیسترزیس خود به صورت کامل از بین می‌برد. در [۹] محاسبه قابلیت اطمینان مدارهای دیجیتالی که مقاومسازی آنها با استفاده از مدارهای آنالوگ انجام می‌شود با استفاده از آنالیز مونت کارلو ارائه شده است.

اعمال هر یک از روش‌های ذکرشده در تمامی نقاط مدار، علاوه بر هزینه اضافی موجب به وجود آمدن مساحت اضافی در مدار شده و تأخیر بالایی در عملکرد آن ایجاد می‌کنند. علاوه بر آن برخی از گره‌های مداری دارای ساختار خاص و ظرفیت خازنی مناسبی هستند به گونه‌ای که نیاز بسیار کمتری به مقاومسازی دارند. لذا برای محدود کردن تعداد گره‌های لازم برای مقاومسازی از روش‌های انتخابی استفاده می‌شود [۱۰].

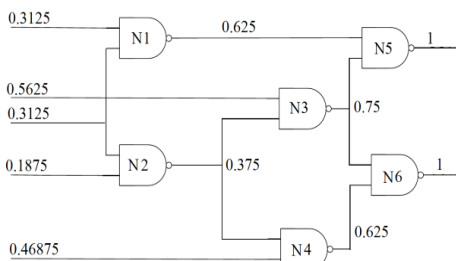
قابلیت اطمینان نسبی، معیاری برای طبقه‌بندی مدارها در روش‌های انتخابی محسوب می‌شود [۱۱]. برای پیدا کردن مقدار قابلیت اطمینان از ماتریس انتقال احتمال^۵ (PTM) استفاده می‌گردد که در آن قابلیت

2. Probability of Failure

3. Reliability

4. Soft Error Rate

1. Probability Transfer Matrix



شکل ۴: محاسبه مشاهده‌پذیری برای مدار نمونه.

جدول ۱: احتمال سیگنال برای هر حالت از خروجی سیگنال‌های مختلف.

$P_{\cdot}(w)$	$P_{\setminus}(w)$	نوع گیت
$1 - P_{\setminus}(w)$	$1 - P_{\setminus}(a)$	NOT
$1 - P_{\setminus}(w)$	$P_{\setminus}(a) \times P_{\setminus}(b)$	AND
$P_{\cdot}(a) \times P_{\setminus}(b)$	$1 - P_{\cdot}(w)$	NAND
$P_{\cdot}(a) \times P_{\cdot}(b)$	$1 - P_{\cdot}(w)$	OR
$1 - P_{\setminus}(w)$	$P_{\cdot}(a) \times P_{\cdot}(b)$	NOR

جدول ۲: مشاهده‌پذیری برای ورودی‌های گیت‌های مختلف.

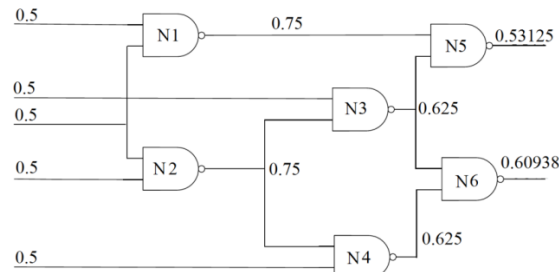
$PO(b)$	$PO(a)$	نوع گیت
-	$PO(w)$	NOT
$P_{\setminus}(a) \times PO(w)$	$P_{\setminus}(b) \times PO(w)$	AND
$P_{\cdot}(a) \times PO(w)$	$P_{\cdot}(b) \times PO(w)$	OR
$P_{\setminus}(a) \times PO(w)$	$P_{\setminus}(b) \times PO(w)$	NAND
$P_{\cdot}(a) \times PO(w)$	$P_{\cdot}(b) \times PO(w)$	NOR

مطابق شکل ۳ برای محاسبه مشاهده‌پذیری یک مدار ترکیبی متشكل از گیت‌های منطقی، ابتدا مقادیر احتمال سیگنال برای گردهای مختلف مدار به دست می‌آوریم و سپس همان طور که قبلاً اشاره شد مقدار مشاهده‌پذیری را در خروجی‌های مدار برابر با ۱ قرار می‌دهیم. سپس از سمت این خروجی به سمت ورودی‌های مدار برمی‌گردیم و در مسیر برگشت، مقدار مشاهده‌پذیری برای هر ورودی از گیت را مطابق با رابطه آورده شده در جدول ۲ محاسبه می‌کنیم و همین طور تا رسیدن به ورودی ادامه می‌دهیم. شکل ۴ مقادیر مشاهده‌پذیری یک مدار نمونه را نشان می‌دهد. بالاتر بودن مقدار مشاهده‌پذیری یک گره بیانگر آن است که گره مذکور از اولویت بالاتری در اعمال روشن مقاوم سازی مناسب در برابر خطای نرم ناشی از تشعشعات برخوردار است.

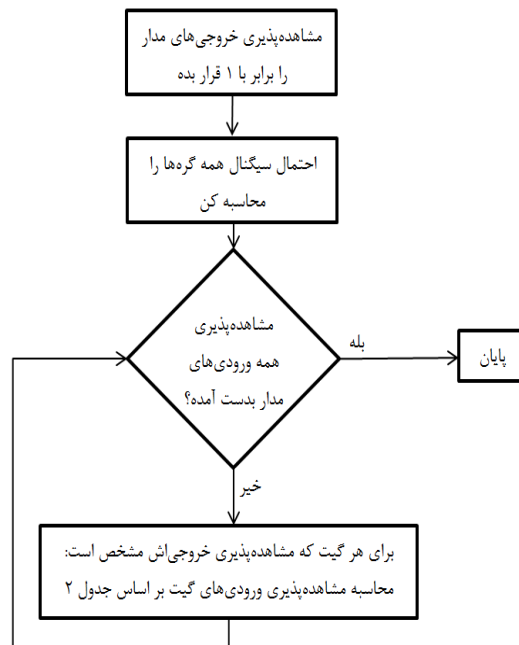
۲-۳ محاسبه قابلیت اطمینان در مدارات ترکیبی

احتمال صحیح بودن خروجی یک مدار را قابلیت اطمینان مدار مذکور می‌گویند. در واقع قابلیت اطمینان سیستم بیانگر درجه اعتمادی است که به خروجی مشاهده شده توسط سیستم داریم. بدین معنی که هرچه قابلیت اطمینان یک مدار بالاتر باشد احتمال آن که مدار مذکور خروجی صحیح را تحويل دهد، بالاتر است و قابلیت اطمینان معیاری برای اندازه‌گیری آسیب‌پذیری یک مدار در برابر خطاهای دائم و موقت به شمار می‌رود [۱۵].

قابلیت اطمینان یک سیگنال احتمال انتقال مقدار صحیح سیگنال است. چنانچه سیگنال مورد نظر را x فرض کنیم، x می‌تواند چهار مقدار مختلف را اخذ نماید: صفر صحیح (0_C)، یک صحیح (1_C ، صفر غیر صحیح (0_U) و یک غیر صحیح (1_U). حال چنانچه احتمال وقوع این چهار رخداد را در قالب یک ماتریس نشان دهیم این ماتریس به صورت زیر خواهد بود



شکل ۲: محاسبه احتمال سیگنال برای گردهای مختلف مدار C17.



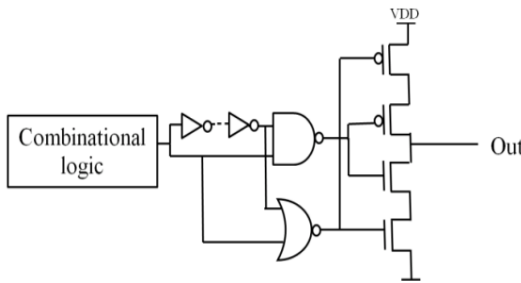
شکل ۳: الگوریتم محاسبه مشاهده‌پذیری برای گردهای یک مدار.

که یکی از مدارهای استاندارد آزمون [۱۶] است را نشان می‌دهد. مقادیر احتمال گردهای آن مطابق جدول ۱ محاسبه شده است. مشاهده‌پذیری منطقی یک گیت به عنوان میزان دشواری مشاهده تغییر مقداری از ورودی در خروجی آن تعریف می‌شود و عددی بین صفر و یک است. خروجی‌های یک مدار به عنوان سخت‌ترین نقاط برای مشاهده‌پذیری به حساب می‌آیند و به همین دلیل در محاسبات، مقدار مشاهده‌پذیری برای خروجی‌ها برابر ۱ در نظر گرفته می‌شود.

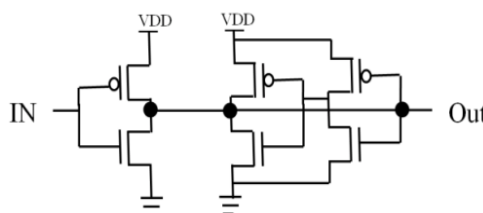
الگوریتم احتمال تجمعی مشاهده‌پذیری^۱ (CPO) محاسبه مشاهده‌پذیری در یک مدار را به صورت یک رویکرد بازگشته از خروجی‌های مدار به ورودی‌های آن بیان می‌کند [۱۳]. مقدار مشاهده‌پذیری برای خروجی‌های اولیه مدار برابر با ۱ در نظر گرفته می‌شود و مقدار مشاهده‌پذیری برای هر ورودی، حاصل ضرب مقدار مشاهده‌پذیری خروجی آن گیت در احتمال سیگنال ورودی‌های دیگر گیت است. همچنین مقدار مشاهده‌پذیری برای رشته‌ای از شاخه‌ها که در یک گره به هم متصل شده‌اند، به صورت بیشترین مقدار مشاهده‌پذیری تمامی شاخه‌های متصل به آن گره در نظر گرفته می‌شود. جدول ۲ مقدار مشاهده‌پذیری را برای ورودی‌های گیت‌های مختلف نشان می‌دهد.

برای روش پیشنهادی برنامه الگوریتم محاسبه مشاهده‌پذیری گردهای یک مدار که در شکل ۳ نشان داده شده است با C++ نوشته شد و برای مدارهای تحت آزمایش مورد استفاده قرار گرفت.

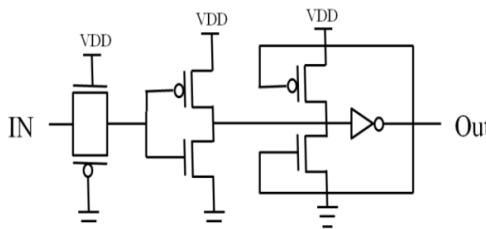
1. Cumulative Probability of Observability



شکل ۷: روش افزونگی زمانی [۵].



شکل ۸: روش پسخورد ترانزیستوری [۸].



شکل ۹: استفاده از بلوک اشمیت تریگر [۹].

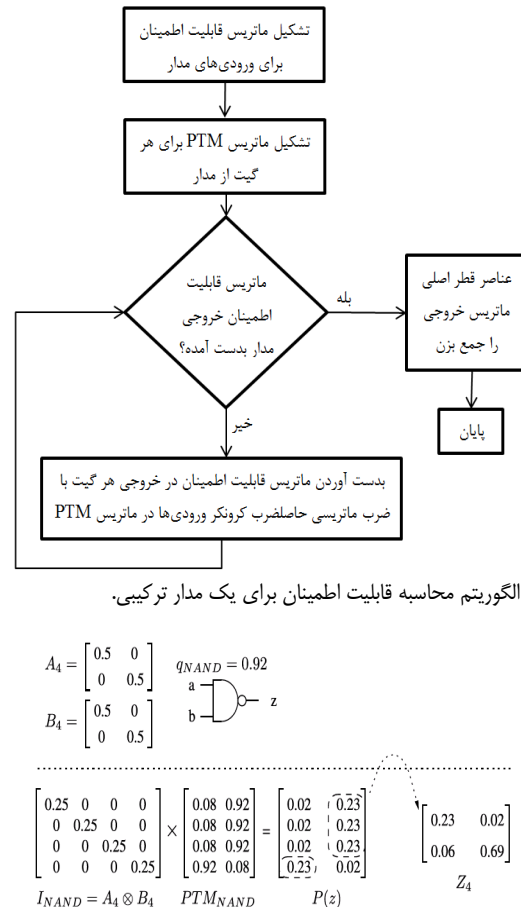
مدارهای مورد آزمایش، مدارهای C۱۷، C۲۶، C۴۳۲ و C۴۹۹ هستند که از مجموعه مدارهای ISCAS85 انتخاب شده‌اند [۱۴]. برای پیاده‌سازی الگوریتم CPO به منظور یافتن نقاط آسیب‌پذیر مدار با استفاده از مشاهده‌پذیری منطقی، الگوریتم مذکور با استفاده از زبان برنامه‌نویسی C++ نوشته شد و لیست گره‌های مدار بر اساس اندازه مشاهده‌پذیری آن به ترتیب اولویت به دست آمد. در این مرحله برای هر مدار ۱۰٪ از گره‌های بالای لیست را برای مقاوم‌سازی انتخاب می‌کنیم که معادل با ۱ گره از مدار C۱۷، ۲ گره از مدار C۲۶، ۱۴ گره از مدار C۴۳۲، ۱۷ گره از مدار C۴۹۹ و ۴۴ گره از مدار C۸۸۰ است.

برای انتخاب روش حفاظتی مناسب، روش استفاده از افزونگی زمانی (شکل ۷)، پسخورد ترانزیستوری (شکل ۸) و بلوک اشمیت تریگر (شکل ۹) به گره‌های انتخاب شده مدارهای آزمون اعمال شدند. کلیه مدارها در تکنولوژی ۴۵ نانومتر و در محیط HSpice شبیه‌سازی شدند. برای انجام شبیه‌سازی، به ورودی‌ها سیگنال پالس ولتاژ با دامنه ۱ ولت و فرکانس‌هایی در محدوده ۵۷ تا ۱۲۵ مگاهرتز اعمال گردید. همچنین خطای نرمی که هر روش ملزم به حذف آن است به صورت پالس‌هایی با عرض پالس تا ۲۰۰ پیکوثانیه در نظر گرفته شد.

برای سنجش میزان مقاوم‌بودن مدار از پارامتر مجموع بار بحرانی استفاده نمودیم. برای این منظور، مدل اعمال ذرات آلفا را مطابق (۳) در نظر گرفتیم [۱۶]

$$I(t) = \frac{Q}{\tau_1 - \tau_2} (e^{-\frac{t}{\tau_1}} - e^{-\frac{t}{\tau_2}}) \quad (3)$$

در (۳)، Q بار توزیع شده در نتیجه برخورد و τ_1 و τ_2 ثوابت زمانی وابسته به پارامترهای تکنولوژی هستند.



شکل ۵: الگوریتم محاسبه قابلیت اطمینان برای یک مدار ترکیبی.

$$A_4 = \begin{bmatrix} 0.5 & 0 \\ 0 & 0.5 \end{bmatrix} \quad q_{NAND} = 0.92$$

$$B_4 = \begin{bmatrix} 0.5 & 0 \\ 0 & 0.5 \end{bmatrix}$$

$$\begin{bmatrix} 0.25 & 0 & 0 & 0 \\ 0 & 0.25 & 0 & 0 \\ 0 & 0 & 0.25 & 0 \\ 0 & 0 & 0 & 0.25 \end{bmatrix} \times \begin{bmatrix} 0.08 & 0.92 \\ 0.08 & 0.92 \\ 0.08 & 0.92 \\ 0.92 & 0.08 \end{bmatrix} = \begin{bmatrix} 0.02 & 0.23 \\ 0.02 & 0.23 \\ 0.02 & 0.23 \\ 0.23 & 0.02 \end{bmatrix} \quad P(z) = \begin{bmatrix} 0.23 & 0.02 \\ 0.06 & 0.69 \end{bmatrix}$$

$$I_{NAND} = A_4 \otimes B_4 \quad PTM_{NAND}$$

$$R_x = P(x = \cdot_C) + P(x = 1_C) = x_{\cdot} + x_1$$

شکل ۶: به دست آوردن قابلیت اطمینان در خروجی یک گیت NAND.

$$\begin{bmatrix} P(x = \cdot_C) & P(x = 1_i) \\ P(x = \cdot_i) & P(x = 1_C) \end{bmatrix} = \begin{bmatrix} x_{\cdot} & x_1 \\ x_i & x_C \end{bmatrix} \quad (1)$$

قابلیت اطمینان برای سیگنال x را با R_x نشان داده و از رابطه زیر به دست می‌آید (در این رابطه P تابع احتمال است)

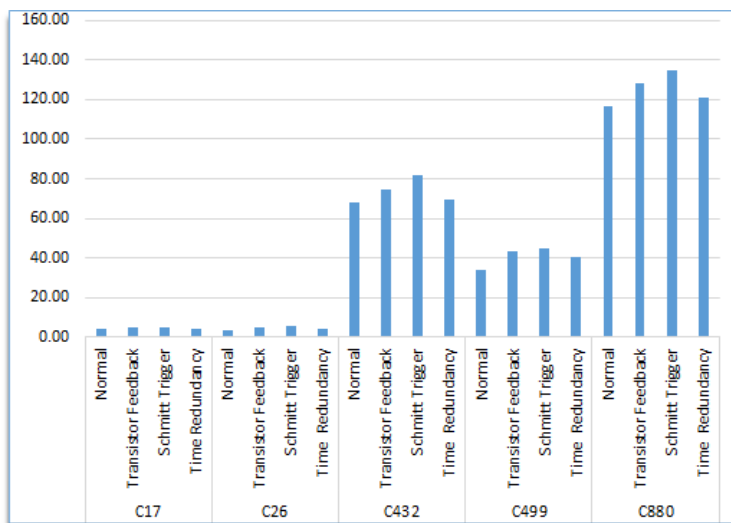
$$R_x = P(x = \cdot_C) + P(x = 1_C) = x_{\cdot} + x_1 \quad (2)$$

الگوریتم محاسبه قابلیت اطمینان یک مدار در شکل ۵ آمده است. برای به دست آوردن قابلیت اطمینان یک مدار از ورودی‌ها شروع کرده و به سمت خروجی‌ها حرکت می‌کنیم. ابتدا ماتریس قابلیت اطمینان را برای هر ورودی جداگانه نوشته و با ضرب کرونکر آنها در هم، ماتریس I یک گیت را به دست می‌آوریم. از طرف دیگر با توجه به قابلیت اطمینان گیت مورد نظر، ماتریس PTM آن را به دست می‌آوریم. اکنون با ضرب ماتریسی I در ماتریس PTM گیت مورد نظر ماتریس P حاصل می‌شود که با جمع عناصر ستون‌ها می‌توانیم به ماتریس قابلیت اطمینان در خروجی گیت مورد نظر برسیم. در شکل ۶ مثالی از محاسبه قابلیت اطمینان در خروجی یک گیت NAND نشان داده شده است. در این مقاله محاسبات قابلیت اطمینان با استفاده از نرم‌افزار Matlab انجام شد.

۴- شبیه‌سازی، مقایسه و انتخاب روش مناسب برای مقاوم‌سازی گره‌های انتخاب شده

۴-۱ شرایط شبیه‌سازی و مقایسه نتایج

برای انتخاب روش مقاوم‌سازی، چند روش تحت آزمایش و شبیه‌سازی قرار گرفتند و طبق نتایج به دست آمده، روش بهینه انتخاب گردید.



شکل ۱۰: مقدار مجموع بار بحرانی مدارهای تحت آزمایش با روش‌های مختلف مقاوم سازی و مقایسه آنها با حالت عادی مدار.

جدول ۳: نتایج شبیه‌سازی‌های روش‌های مختلف بر روی گره‌های انتخابی.

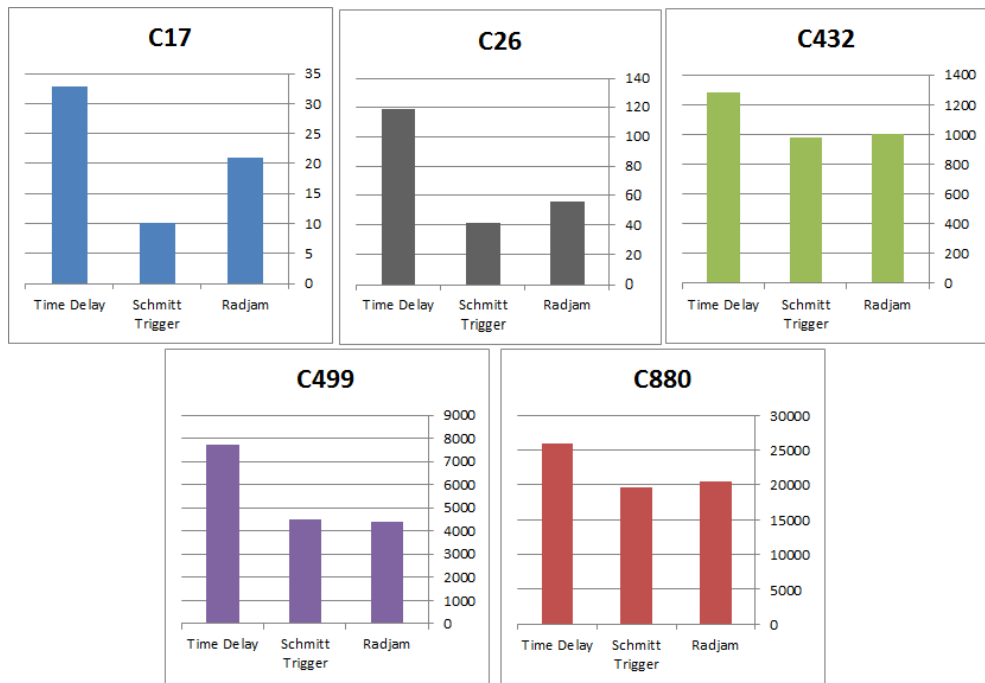
PDP	پارامتر	روش مقاوم سازی	مدار	
	مجموع تأخیر (ns)	مجموع بار بحرانی (pc)		
	توان (μW)			
-	-	۲۹	مدار C17	Normal
۸۰۵	۰,۲۵	۳۲/۱۸		Transistor Feedback
۲/۷۴	۰,۰۸	۳۴/۲۳		Schmitt Trigger
۲۰/۷۴	۰,۴۲	۴۹/۳۸	مدار C26	Time Redundancy
-	-	۸۱/۳۵		Normal
۳۰۶۱	۰,۳۳	۹۲/۷۷		Transistor Feedback
۲۱۴۷	۰,۲۳	۹۳/۳۸	مدار C432	Schmitt Trigger
۱۰۰۲	۰,۸۱	۱۲۳/۷		Time Redundancy
-	-	۸۶۳		Normal
۲۴۶۲	۲,۷۳	۹۰۲	مدار C499	Transistor Feedback
۹۷۵	۱,۰۴	۹۳۷		Schmitt Trigger
۲۷۵۹	۲,۴۵	۱۱۲۶		Time Redundancy
-	-	۱۹۳۲	مدار C880	Normal
۶۰۰۵	۳,۰۷	۱۹۵۶		Transistor Feedback
۲۶۰۴	۱,۲۸	۲۰۲۸		Schmitt Trigger
۶۵۶۳	۲,۸۹	۲۲۷۱	مدار C880	Time Redundancy
-	-	۲۷۵۶		Normal
۱۱۲۹۳	۴,۰۳	۲۹۰۲		Transistor Feedback
۷۸۲۳	۲,۵۸	۳۰۳۲	مدار C880	Schmitt Trigger
۲۲۶۳۹	۶,۷۸	۳۳۳۹		Time Redundancy

در شکل ۱۱ مقدار تأخیر روش‌های سه‌گانه برای مدارات تحت آزمایش اورده شده است. کمترین مقدار مجموع تأخیر برای هر مدار با استفاده از اشمیت تریگر حاصل شده و هرچه که مدار بزرگ‌تر می‌شود، اختلاف تأخیر این روش با سایر روش‌ها مشهودتر می‌گردد.

همچنین جدول ۳ نشان می‌دهد که روش پسخورد ترانزیستوری کمترین میزان توان مصرفی را داراست و از طرفی بلوک اشمیت تریگر کمترین تأخیر را دارد. بنابراین انتخاب روش بهینه را با استفاده از حاصل ضرب توان تأخیر مورد نظر قرار می‌دهیم.

در شکل ۱۲ نمودار PDP برای مدارهای مختلف به تفکیک هر روش اورده شده است. با توجه به شکل مذکور ملاحظه می‌شود که مقدار پارامتر PDP برای بلوک اشمیت تریگر از سایر روش‌ها پایین‌تر است و این امر

از پارامترهای دیگر مورد سنجش، توان مصرفی، مجموع تأخیر مدار و حاصل ضرب توان-تأخیر (PDP) است. جدول ۳ نتایج شبیه‌سازی روش‌های مختلف بر روی گره‌های انتخابی مدارهای تحت آزمایش را نشان می‌دهد. نتایج شبیه‌سازی‌های موجود در جدول ۳ به صورت نمودارهای ستونی در شکل‌های ۱۱ و ۱۲ نشان داده شده است. شکل ۱۰ نمودار ستونی مقادیر مجموع بار بحرانی برای هر مدار به تفکیک روش مقاوم سازی در کنار حالت عادی مدار بدون مقاوم سازی را نشان می‌دهد. مطابق شکل در هر پنج مدار تحت آزمایش، بیشترین افزایش بار بحرانی با استفاده از اشمیت تریگر حاصل می‌شود و بنابراین بیشترین بهبود در SER مدار توسط این روش حاصل می‌گردد. در مرتبه بعدی روش پسخورد ترانزیستوری قرار دارد.



شکل ۱۲: پارامتر PDP برای مدارهای مختلف به ازای اعمال روش‌های مختلف.

جدول ۴: مقدار قابلیت اطمینان برای مدارهای آزمون.

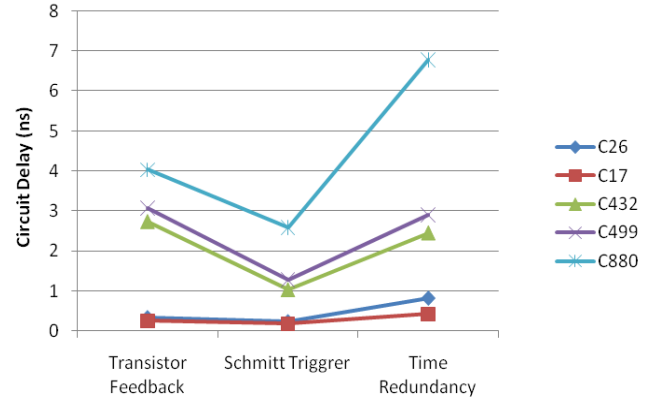
C17	C26	C432	C499	C880	مدار
۰,۸	۰,۷۶	۰,۷۳	۰,۷۹	۰,۷۸	مقدار قابلیت اطمینان
۵	۸	۱۰	۶	۶	درصد گره‌های انتخابی برای مقاوم سازی

جدول ۵: مقایسه PDP مدار با و بدون در نظر گرفتن قابلیت اطمینان.

مدار	گرفتن قابلیت اطمینان	بدون در نظر قابلیت اطمینان	درصد بهینه سازی PDP	مدار
C17	۲,۷۴	۲,۷۴	-	C17
C26	۹,۶	۲۱,۴۷	۵۵	C26
C432	۷۵۴	۹۷۵	۲۲	C432
C499	۲۳۴۳	۲۶۰۴	۱۱	C499
C880	۷۸۲۳	۱۲۰۳	۳۶	C880

جدول ۴ مقدار قابلیت اطمینان را برای مدارهای آزمون مورد نظر نشان می‌دهد. مداری که دارای قابلیت اطمینان بالاتری است، درصد کمتری از گره‌های آن نیاز به مقاوم سازی دارد. طبق این جدول، مدار C17 بیشترین مقدار قابلیت اطمینان مربوطه را دارد و کمترین مقدار قابلیت اطمینان متعلق به مدار C432 است. بر این اساس درصد تعداد گره‌های انتخابی برای مجموعه مدارات تحت آزمون در این مقاله بین ۵% تا ۱۰% به صورت خطی در نظر گرفته می‌شود.

جدول ۵ مقادیر جدید PDP را با در نظر گرفتن قابلیت اطمینان برای احتساب مقدار مناسب گره‌ها همراه با درصد تعداد گره‌های انتخابی برای هر مدار نشان می‌دهد. مطابق جدول، بهبود پارامتر PDP کاملاً مشهود است. نمودار مقایسه‌ای مقدار پارامتر PDP برای هر مدار، در شرایط قبل و بعد از اعمال قابلیت اطمینان در شکل ۱۳ آورده شده است. نکته دیگر این که با توجه به آن که با اعمال قابلیت اطمینان، تعداد گره‌های لازم برای مقاوم سازی کاهش پیدا می‌کند و نیز بلوک اشمیت تریگر خود متشكل از ۶ عدد ترانزیستور می‌باشد، سطح مصرفی متناسب با آن کاهش پیدا می‌کند.



شکل ۱۱: مقادیر مجموع تأخیر مدارهای تحت آزمایش با روش‌های مختلف مقاوم سازی.

گواهی بر بهینه‌بودن استفاده از روش مذکور است. پس انتخاب این روش علاوه بر داشتن بار بحرانی بالاتر که منجر به پایین‌آمدن SER می‌گردد و به معنی مقاوم شدن مدار در برابر خطای نرم است، همچنین در این حالت میزان تأخیر و PDP نیز کمتر است.

۴-۲ کاهش سطح مصرفی و بهبود PDP روش ارائه شده با استفاده از محاسبه قابلیت اطمینان مدار

در روش پیشنهادی که تاکنون مطرح نمودیم و همچنین روش‌های پیشین برای همه مدارها درصد یکسانی از گره‌ها برای مقاوم سازی انتخاب می‌شند [۱۱] و [۱۲]. در این مرحله ما برای بهینه سازی بیشتر مدار مقاوم شده از نظر سطح مصرفی و فاکتور PDP از محاسبه قابلیت اطمینان مدار به عنوان مبنای برای انتخاب تعداد مناسب گره‌های لازم استفاده می‌کنیم. برای این منظور پس از به دست آوردن لیست اولویت گره‌ها برای مقاوم سازی و مرتب‌نمودن آنها، قابلیت اطمینان مدار را که پیش‌تر شرح داده شد، محاسبه می‌نماییم. حال بر اساس مقدار به دست آمده برای قابلیت اطمینان، تصمیم می‌گیریم که چه درصدی از گره‌های موجود در لیست را برای مقاوم سازی انتخاب کنیم.



شکل ۱۳: مقایسه PDP هر مدار قبل و بعد از اعمال قابلیت اطمینان.

می‌دهد. سپس برای بهینه‌سازی بیشتر توان و سطح مصرفی، انتخاب درصد مناسبی از گره‌های مدار با توجه به قابلیت اطمینان مدار انجام شد. تمام مراحل روش با محاسبات کامپیوتوری با برنامه‌نویسی C++ و Matlab و شبیه‌سازی‌های انجام شده بر مدارهای آزمون مورد بررسی و تأیید قرار گرفت. همچنین شبیه‌سازی‌های مونت کارلو نشان داد که روش انتخابی ارائه شده در برابر تغییرات فرایند نیز مقاوم بوده و از کارایی بالایی برخوردار است.

مراجع

- [1] P. Mongolkachit and B. Bhuvan, "Design technique for mitigation of alpha-particle-induced single-event transients in combinational logic," *IEEE Trans. on Device and Materials Reliability*, vol. 3, no. 3, pp. 82-89, Sept. 2003.
- [2] D. B. Limbrick, N. N. Mahatme, W. H. Robinson, and B. L. Bhuvan, "Reliability-aware synthesis of combinational logic with minimal performance penalty," *IEEE Trans. on Nuclear Science*, vol. 60, no. 4, pp. 2776-2781, Aug. 2013.
- [3] N. N. Mahatme, et al., "Analysis of soft error rates in combinational and sequential logic and implications of hardening for advanced technologies," in *Proc. IEEE Int. Reliability Physics Symp., IRPS'10*, pp. 1031-1035, Jun. 2010.
- [4] N. George and J. Lach, "Characterization of logical masking and error propagation in combinational circuits and effects on system vulnerability," in *Proc. Int. Conf. on Dependable Systems & Networks*, pp. 323-334, Jun. 2011.
- [5] S. Mitra, et al., "Combinational logic soft error correction," in *Proc. IEEE Int. Test Conf.*, 9 pp., Oct. 2006.
- [6] C. Lazzari, G. Wirth, F. L. Kastensmidt, L. Anghel, and R. A. Reis, "Asymmetric transistor sizing targeting radiation-hardened circuits," *Springer Electrical Engineering J.*, vol. 94, no. 1, pp. 11-18, Mar. 2012.
- [7] K. Bhattacharya and N. Ranganathan, "RADJAM: a novel approach for reduction of soft errors in logic circuits," in *Proc. Int. Conf. on VLSI Design*, pp. 453-458, Jan. 2009.
- [8] Y. Sasaki, K. Namba, and H. Ito, "Circuit and latch capable of masking soft errors with schmitt trigger," *Springer Electronic Testing J.*, vol. 24, no. 1-3, pp. 11-19, Jun. 2008.
- [9] R. Niaraki Asli and S. Taghipour, "MOCA ARM: analog reliability measurement based on Monte Carlo analysis," *J. of Electrical and Computer Engineering Innovations*, vol. 4, no. 1, pp. 9-14, Autumn 2016.

جدول ۶: بررسی روش پیشنهادی در حضور تغییرات فرایند.

مدار	PDP روش پیشنهادی	PDP در حضور تغییرات فرایند
C17	۲,۷۴	۲,۸۳
C26	۹,۶	۱۰,۰۸
C432	۷۵۴	۸۸۳
C499	۲۳۳۳	۲۲۶۰
C880	۷۸۲۳	۸۲۳۱

۴- شبیه‌سازی تغییرات فرایند

جهت بررسی پایداری مدارهای مقاوم پیشنهادی در برابر تغییرات فرایند از تحلیل مونت کارلو استفاده شد. با توجه به بزرگ‌بودن مدارهای آزمون و طولانی‌بودن لیست گره‌های آنها، شبیه‌سازی‌ها برای ۳۰۰ نمونه اجرای مدار و به ازای تغییر در ولتاژ منبع تقدیم، عرض کانال و دما با استفاده از توزیع گوسی ۵٪ و تغییر ۳ سطح سیگما انجام شدند. جدول ۶ نتایج شبیه‌سازی‌های انجام شده را برای پارامتر PDP روش پیشنهادی در حالت عادی و با حضور تغییرات فرایند نشان می‌هد. نتایج جدول نشان می‌دهد که روش پیشنهادی در برابر تغییرات فرایند از کارایی بالایی برخوردار است.

۵- نتیجه‌گیری

در این مقاله یک روش انتخابی مشاهده‌پذیر و بهینه برای مقاومسازی مدارهای منطقی ترکیبی در برابر خطای نرم مطرح شد. بهینه سازی روش مقاومسازی در سه مرحله و با استفاده از مفاهیم مشاهده‌پذیری، انتخاب روش مناسب مقاومسازی و محاسبات قابلیت اطمینان انجام شد. در روش ارائه شده ابتدا با استفاده از محاسبات مشاهده‌پذیری گره‌هایی مدار به ترتیب اولویت انتخاب شدند. مقاومسازی ۱۰٪ گره‌هایی با اولویت بالا با سه روش مداری افزونگی زمانی، پسخورد ترانزیستوری و اشمیت تریگر نشان داد که روش انتخابی مشاهده‌پذیر با مقاومسازی اشمیت تریگری گره‌ها بهترین نتایج را از نظر مجموع بار بحرانی گره‌ها و PDP مدار ارائه

راهیه نیارکی اصلی تحقیقات خود را در مقاطع کارشناسی و کارشناسی ارشد مهندسی الکترونیک به ترتیب در سال‌های ۱۳۷۴ و ۱۳۷۸ از دانشگاه گیلان و در مقطع دکترای مهندسی برق سال ۱۳۸۶ از دانشگاه علم و صنعت ایران به پایان رسانده است. ایشان از سال ۸۶ تا کنون عضو هیات علمی دانشگاه گیلان، گروه مهندسی برق می‌باشد. زمینه‌های تحقیقاتی مورد علاقه ایشان در حال حاضر عبارتند از: طراحی مدارات دیجیتال آزمون‌پذیر و با قابلیت اطمینان بالا، طراحی حافظه‌های با کارایی بالا در فناوری‌های جدید و مقاوم در برابر خطای نرم و پیشگیری و نیز پیاده‌سازی الگوریتم‌های بینایی ماشین روی FPGA.

هomon سالمی در سال ۱۳۸۸ مدرک کارشناسی مهندسی برق خود را از دانشگاه صنعتی مالک اشتر و در سال ۱۳۹۲ مدرک کارشناسی ارشد مهندسی برق خود در گرایش الکترونیک را از دانشگاه گیلان دریافت نمود. از سال ۱۳۹۲ الی ۱۳۹۴ نامبرده به عنوان کارشناس فنی سیستم‌های دیجیتال در شرکت ارتباطات پردازی به کار مشغول بود و پس از آن در سال ۱۳۹۴ در قسمت انفورماتیک بانک گردشگری در تهران مشغول به فعالیت گردید. زمینه‌های علمی مورد علاقه ایشان متنوع بوده و شامل موضوعاتی مانند طراحی مدارات دیجیتال قابل اطمینان، ایده‌های نو در برنامه‌نویسی، مدیریت سیستم‌های یکپارچه الکترونیکی و امنیت سیستمهای بانکی می‌باشد.

- [10] I. Polian and J. Hayes, "Selective hardening: toward cost-effective error tolerance," *IEEE Design Test of Computers*, vol. 28, no. 3, pp. 54-63, May-Jun. 2011.
- [11] S. N. Pagliarini, L. A. Naviner, and J. F. Naviner, "Selective hardening methodology for combinational logic," *Latin American Test Workshop*, 6 pp., Quito, Ecuador, Apr. 2012.
- [12] W. Sootkaneung and K. K. Saluja, "Soft error reduction through gate input dependent weighted sizing in combinational circuits," in *Proc. Int. Symp. on Quality Electronic Design, ISQED'11*, pp. 603-610, Mar. 2011.
- [13] Z. Navabi, *Digital System Test and Testable Design*, Springer Science, New York, 2011.
- [14] Benchmarksat, <http://web.eecs.umich.edu/~jhayes/iscas.restore/benchmark.html>
- [15] D. T. Franco, M. C. Vasconcelos, L. Naviner, and J. F. Naviner, "Signal probability for reliability evaluation of logic circuits," *Microelectronics Reliability*, vol. 48, no. 8-9, pp. 1586-1591, Aug.-Sept. 2008.
- [16] G. C. Messenger, "Collection of charge on junction nodes from ion tracks," *IEEE Trans. on Nuclear Science*, vol. 29, no. 6, pp. 2024-2031, Dec. 1982.